

本州四国連絡橋公団 第2建設局 正員 山根 哲 隆
 (株) 綜合技術コンサルタント 〃 横井 昭 彦
 坂口 和 隆

長大橋梁や、山間部の平坦部に移行する地点に架設される橋梁では、支持地盤の深層や、他の条件等により全く異なる基礎形式が連続する場合がある。この様な場合、地震時に入力される地震動は、各支桌ごとに異なった特性を持つことになり、各々に異なる地震動を入力する解析が必要となる。ここでは、原形と、中間地盤を考慮した形を用いて「菟、川地区高架橋(海峡部)」の地震時応答スペクトル解析を行った結果を報告するものである。

1. 解析方法

解析方法は、小坪⁽¹⁾、青柳⁽²⁾の報告に詳しいので、変位応答に関する最終式のみを、式(1)~(3)に示す。

$$W_j = \sqrt{\sum_{r=1}^n (\Phi_{rj} \cdot Y_r)^2 + \sum_{k=1}^m F_{kj} \cdot \delta_k} \quad \text{----- (1)}$$

$$Y_r = \sum_{k=1}^m \beta_{rk} \left(\frac{T_r}{2\pi} \right)^2 \cdot S_a^{kr} \quad \text{----- (2)}$$

$$\beta_{rk} = - \frac{\sum_{i=1}^n m_i \cdot \Phi_{ri} \cdot F_{ki}}{\sum_{i=1}^n m_i \cdot (\Phi_{ri})^2} \quad \text{----- (3)}$$

ここに、 W_j ; 桌jの最大応答変位、 Φ_{rj} ; r次の桌jの固有モード値、 Y_r ; r次の標準座標、 F_{kj} ; 桌jのk支桌により支桌変位の影響係数、 δ_k ; k支桌の地盤変位、 T_r ; r次の固有周期、 S_a^{kr} ; k支桌から入力されるr次の加速度応答スペクトル値、 m_i ; 桌iの質量を示す。

2. 解析条件

対象とした「菟、川地区高架橋(海峡部)」の計画設計の一般形状を図-1に示す。A1は、岩盤に直接支持された剛体基礎であり、P1~P3は、岩盤内に掘入れられた基礎である。この様な形式では、P1~P3のワーキング床端における地震動は、中間地盤(残積層、沖積層)の影響を受け、A1の地震動(原形)とは、大きく、波形とも異なる。そこで、以下に示す条件を踏まえ、断面直角方向の解析を試みた。A1から入力する地震動は、図-2に示す岩盤スペクトルを用い、最大加速度を100galとした。P1~P3のワーキング床端における地震動は、「くい-地盤」モデル(図-4)を、F.E.M.によって直接応答解析して得られた形(最大応答加速度166gal)から応答スペクトルを作成(図-3)したものをを用いた。モデルに際しては、トラス部材を梁要素とし、A1は、剛性を無限大とし、剛体基礎の振動性状を表現できる様に、質量を分散させ、底面に水平バネ、回転バネを付した。P1は、地盤から離れた位置に、ワーキング床があるので、くい基礎をバネ部とした。P2, P3は、ワーキング床端を固定とした。モデルを図-5に示す。

3. 解析結果及び考察

解析によって得られたモード、固有周期及び固有質量(%表示)を示したものが、図-6である。卓越周期は、1.68秒の3次モードで、A1自体の固有周期と一致している。しかし、表-1に示す様に、最大応答変位は、1次モードで発生しており、3次モードにおける変位は小さい。従って、このモデルは、質量の大きなA1と高架橋部分の連成振動の影響が少な、構造的な形式であるものと考えられる。各節点の最大応答変位をプロットしたものを図-7に示している。この結果によると、入力地震動を変えた場合の最大応答変位は、101.3^{mm}であり、同規模(ワーキング床端で得られたもの)の場合の112.6^{mm}に対して、10%減となっている。今回の例では、入力地震動を変えた場合の応答値は小さくなったが、この事は、必ずしも一般性を有するものとは

考えらばよい。従って、この種の地震性状、基礎条件を有する橋梁の耐震設計をどのようににし、入口地震波を変えた応答解析にどうして照らすかの必要と考えらばよい。

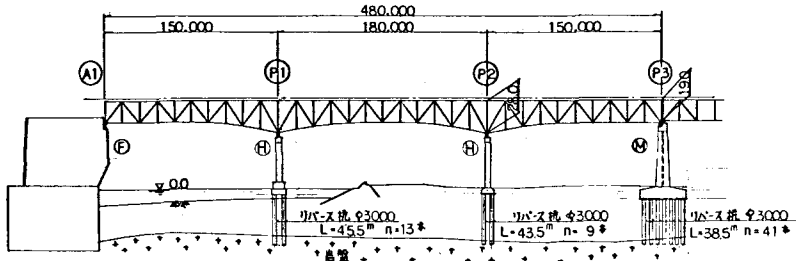


図-1 対象橋梁一般形状

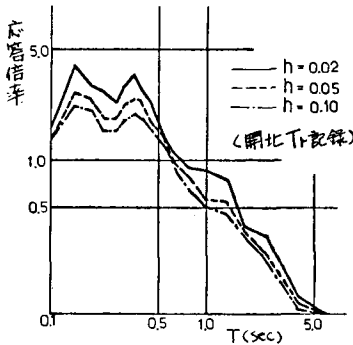


図-2 岩盤地帯応答スペクトル

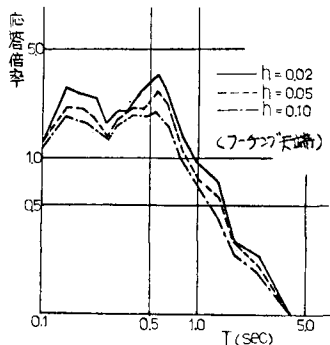


図-3 全地帯下地帯応答スペクトル

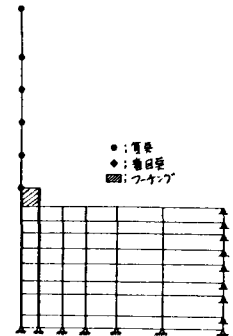


図-4 全地帯モデル

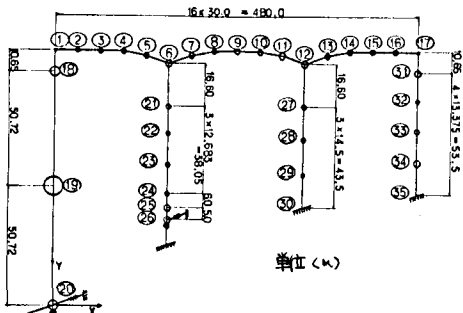


図-5 解析モデル

表-1 各断面の応答変位 単位 (mm)

断面	1次 (3.31sec)	2次 (1.93sec)	3次 (1.66sec)	(1)式1項	(1)式2項	最大変位 (mm)
1	0.159	0.574	3.992	4.212	0.041	4.253
2	1.647	2.279	3.018	5.017	0.634	5.651
3	3.023	3.373	1.566	5.653	1.214	6.877
4	4.193	4.210	-0.097	6.719	1.759	8.488
5	4.970	3.958	-1.532	6.918	2.289	9.207
6	5.273	2.845	-2.464	6.743	2.762	9.505
7	7.349	2.421	-3.784	6.942	2.995	11.938
8	6.707	1.457	-3.995	10.041	3.171	13.212
9	9.218	0.189	-3.105	10.129	3.289	13.418
10	6.956	-1.111	-1.396	9.527	3.345	12.872
11	7.808	-2.166	0.796	6.452	3.349	11.800
12	5.857	-2.720	2.643	7.286	3.304	10.590
13	5.606	-3.809	4.957	6.669	3.153	11.831
14	4.773	-4.039	5.912	9.160	2.989	12.149
15	3.469	-3.417	5.354	7.749	2.791	10.540
16	1.906	-2.151	3.531	5.423	2.578	6.000

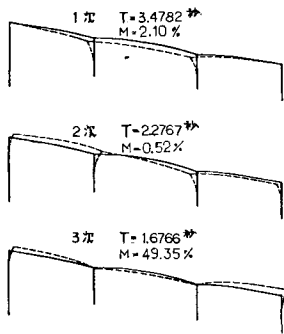


図-6 モード図

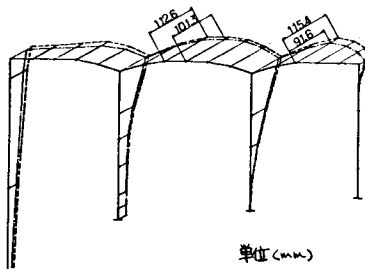


図-7 最大応答変位(1)式1項

参考文献

(1) 小坪清真:

進行地震波に於ける橋梁応答解析への応答スペクトルを利用
土木学会論文報告集
270号、1978年

(2) 青柳史郎: 地震波の応答差を考慮した長手方向の地震応答について
土木学会論文報告集 190号、1971年